

- 142 -

Имея исходную переменную (4.18) можно без принципиальных затруднений (подобно, например, второй главе) найти остальные необходимые переменные, различные параметрические характеристики и расчётные величины и разработать на их основе инженерную методику расчёта. В частности, из условия $U_n(\lambda)_{\lambda=\theta} = S(0)_{\psi=\psi_0}$, т.е. из условия

$$U_c(\theta) = \cos \theta - \varepsilon \quad (4.20)$$

получаем формулу нулевой критичности состояний *m*-фазных схем класса $\Sigma E_s R II C$

$$\frac{\cos \beta_{kp} \cos(\theta + \beta_{kp}) + n_{kp}(\cos \theta - \varepsilon)}{\cos \beta_{kp} \cos(\theta - \beta_{kp}) + n_{kp}(\cos \theta - \varepsilon)} = e^{-\theta \delta_{0,kp}}. \quad (4.21)$$

Эта формула даёт с большим числом возможных вариаций трансцендентную связь между семью реальными параметрами схемы - *m*, ω , S_a , ε , E_s , R , C , которые при известном числе *m* мы представили всего лишь к трём приведённым параметрам - g_h , ε , \mathcal{N} (или n). Следовательно, возможна графическая интерпретация. Континуум критических состояний конкретной (т.е. при известном *m*) схемы можно представить в виде пространственной поверхности, расположенной в первом секторе трёхмерного пространства с прямоугольной системой координат g_h (или δ_h), n (или \mathcal{N}) и ε .

Множество реально возможных состояний любой *m*-фазной схемы рассматриваемого класса принадлежит параллелепипеду состояний, ограниченному плоскостями $[g_h, n]$, $[g_h, \varepsilon]$, $[n, \varepsilon]$, проходящими каждая через два значения третьего параметра - соответственно через $[\varepsilon = 0; \varepsilon = 1]$, $[n = 0; \mathcal{N} = 0]$, $[g_h = 0; \delta_h = 0]$. Изменения определяющих параметров ограничены пределами: $g_h \in [0, \infty]$ (что равнозначно $\mathcal{C} = 0 \div \infty$); $n \in [0, \infty]$, что охватывает режимы от х.х до к.з.); $\varepsilon \in [0, 1]$ (т.е. напряжение изменяясь от нуля, не превышает амплитуду ф.э.д.с.).

Поверхность нулевой критичности $P_{kp} \subset [g_{h,kp}, n_{kp}, \varepsilon_{kp}]$, разделяет указанное множество состояний на два объёма состояний - типа $P \in \mathcal{Z}$ и

$P \in K$. В последнем случае при $n=0$ имеется, кроме того, зона состояний $P \in H$. Она ограничена осями ϑ_H и ε , включая начало координат, и линией $\vartheta_{H,KP} = ctg\theta - \varepsilon_{kp} \cos\theta = f(m, \varepsilon_{kp})$, пересекающей указанные оси в точках $\vartheta_{H,KP,0} = ctg\theta$ и $\varepsilon_{kp,0} = \cos\theta$. Совокупность возможных состояний $P \in H$ не зависит от значений m и определяется только числом m , т.е. выбранным типом схемы.

Примеры графической реализации нулевой критичности состояний приведены на рис. 4.2, 4.3 для трёхфазных лучевой и мостовой (Ларионова) схем. Как и ранее, использован для удобства встречно-линейный масштаб, когда бесконечные значения величин переходят в нули их инверсных аналогов. Оперативная оценка состояния схемы или её типа режима легко осуществляется согласно указаниям "компаса" аналогично представленному на рис. 3.17.

Подчеркнём, что, если поверхности критичности рассматривать как параметрические, то в приведенном виде они отражают изменение состояний схем при изменении τ , C , E_s и при неизменных R , m , ω , S_a . Если нас интересует поведение схемы при изменении сопротивления полезной нагрузки, необходимо и достаточно заменить в согласии с (1.9) собственный обобщённый декремент цепи на взаимный обобщённый декремент $\tilde{\delta}_\theta = N\delta_H$.

Преобразованный параллелепипед состояний будет являться в этом случае нагрузочным, как и поверхность критичности и расчётные и другие параметрические характеристики, построенные в нём.

Для k -го коммутационного режима исходную переменную и формулу критичности k -го порядка получаем аналогичным изложенному выше образом [153], используя метод коммутационных эквивалентов и формулы (3.79)+(3.82), являющиеся общими для любого вида нагрузки,

$$U_{c(k)}(\vartheta) = U_{cy(k)}(\vartheta) + U_{cp(k)}(\vartheta) = \gamma^{-1} \left[-S_a^{(k)} \sin \varphi_k \cos(\vartheta + k\theta + \psi_k + \beta_k) - \varepsilon^{(k)} + e_{ap(k)} e^{-\delta_k \vartheta} \right], \quad (4.22)$$

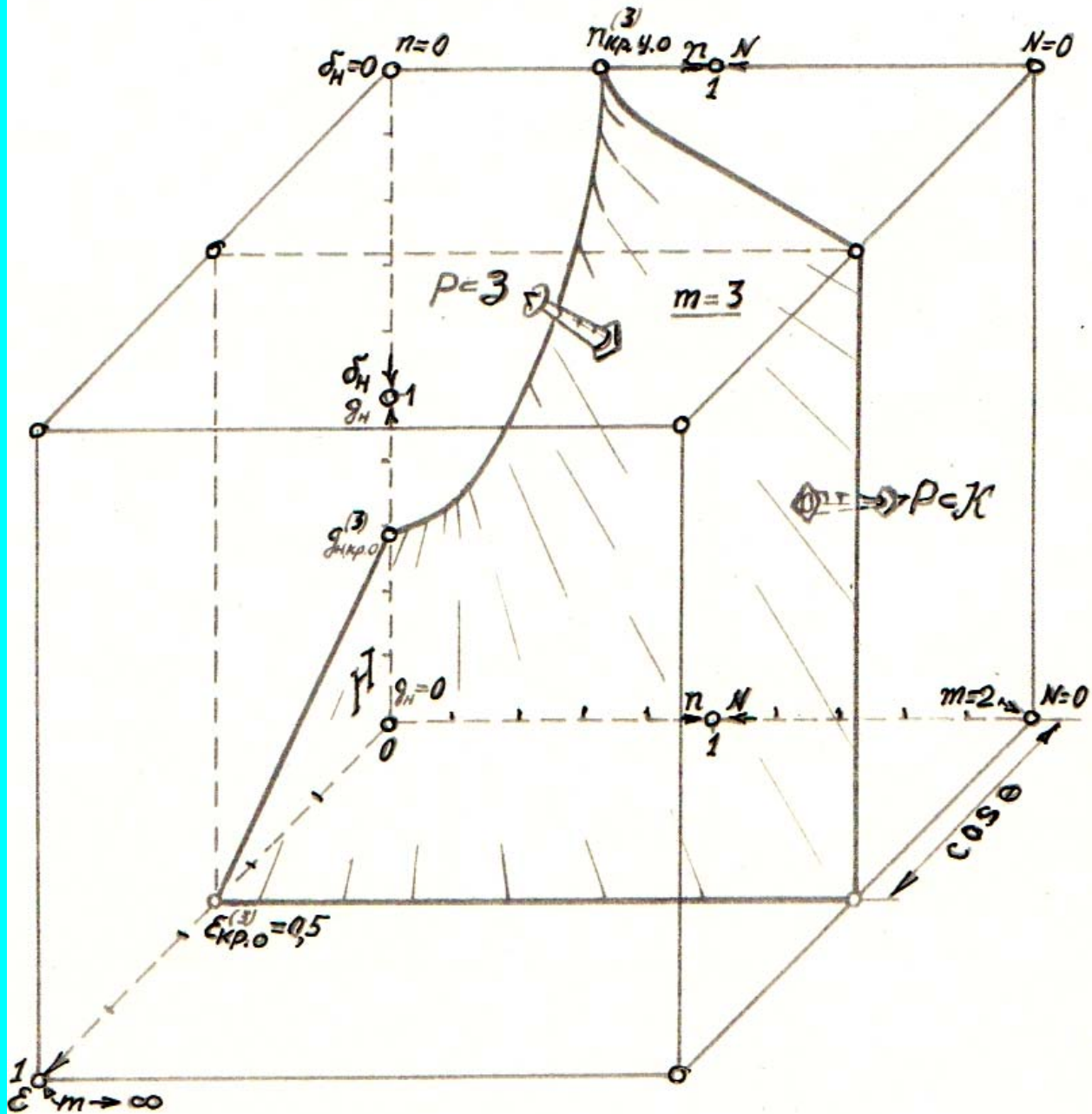


Рис.4.2. Параллелепипед множества состояний, поверхность критичности и об'ёмы состояний вида $P \leq 3$ и $P \leq K$ трёхфазной схемы с нулевым выводом.
(Класс ZER//C)

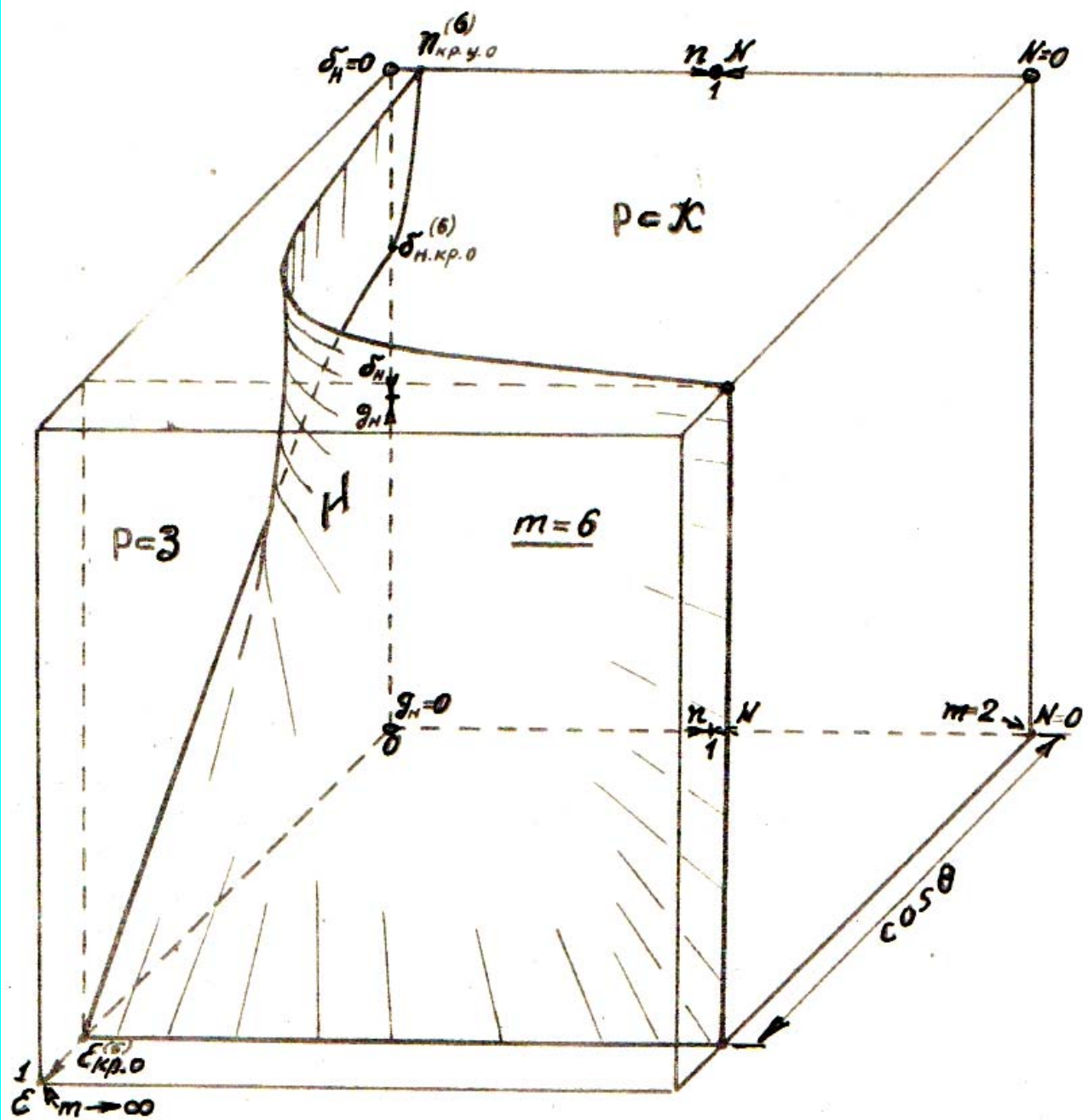


Рис.4.3. То же, что рис.4.2 - для трёхфазной (?) мостовой(?) (Ларионова) и шестифазной с нулевым выводом схемы. ($\Sigma E_s R \parallel C$).

$$e^{-2\delta_k} = \frac{y_k \cos k^+ \theta - S_a^{(k)} \sin \beta_k \sin(\theta + \beta_k) - k\varepsilon}{y_k \cos k^+ \theta + S_a^{(k)} \sin \beta_k \sin(\theta - \beta_k) - k\varepsilon}, \quad (4.23)$$

где $e_{a(k)} = S_a^{(k)} \sin \beta_k \cos(k\theta + \psi_k + \beta_k) + y_k \sin \psi_k; S_a^{(k)} = \sin k^+ \theta / \sin \theta; y_k = n_k + k^+$,

$\delta_k = t g \beta_k = y_k \delta_\theta = (1 + k^+ \chi_k) \delta_\theta$ — собственный обобщенный декремент конца коммутационного эквивалента в k -м подинтервале.

Условие $k=0$ даёт (4.18), (4.21).

Подчеркнём принципиально важное обстоятельство: в любом случае (кроме $C=0$) и в отличие от существующего представления длительность открытого состояния вентиля всегда больше длительности заряда конденсатора фильтра, который как накопитель энергии и как пассивный источник электропитания переходит за время λ от состояния отдачи энергии в полезную нагрузку к состоянию накопления энергии от активного источника (и обратно) $(2k+1)$ раз.

Полученный при конечном значении ёмкости фильтра результат (4.22), (4.23) пригоден для любой m -фазной схемы и любого её режима работы ($P_C Z$ и $P_C X_k$) от х.х до к.з. Вместе с тем, как видно из рис. 3.17, изменение ёмкости от 0 до ∞ практически не влияет на коммутационные состояния схемы. Поэтому проще и удобнее пользоваться результатами, полученными в предыдущей главе при активной нагрузке.

2. Расположение результатов некоторых современных теорий на параллелепипеде множества состояний

На примере рис. 4.2, 4.3 можно наглядно проследить современное состояние некоторых теорий выпрямления и увидеть те немногие части параллелепипеда состояний, где результаты этих теорий соответствуют принятым в них исходным предпосылкам.

Точка $[g_\theta = 0, n = 0, \varepsilon = 0]$, принадлежащая началу координат, охватывает все состояния всех схем без потерь, работающих на чисто активную нагрузку. Эти состояния в силу их тривиальности исследованы ещё

на заре становления общей теории вентильных преобразователей.

Состояния схем без потерь класса $R//C$ расположены на оси ϑ_H . Часть этих состояний, относящихся к $P_{\leq 3}$ и соответствующих участку $[\vartheta_{H,кр.0} \div \infty]$, исследованы, например, в [47]. Состояния при $\vartheta_H = \omega RC < \vartheta_{H,кр.0} = ctg \theta$ не исследованы.

Состояния схем с активными потерями при допущении бесконечности значения ёмкости, т.е. схем класса $\varepsilon R//C_\infty$, исследованы при $P_{\leq 3}$ в работах проф., дтн Б.А.Асеева, Б.П.Терентьева, Г.С.Цыкина и др. Результаты этой широко известной теории при $m > 2$ соответствуют некоторой части верхней дальней грани параллелепипеда, когда значения $n < n_{кр.y.0}$. Значения

$$n_{кр.y.0} = \theta' \operatorname{tg} \theta - 1, \quad (4.24)$$

получаемые из (3.109') при $k=0$, и значит, отрезок грани $0 \div n_{кр.y.0}$ соответствующий принципиальной (при исходных предпосылках) справедливости результатов указанной теории, резко сокращаются с ростом m . Например, при $m=6$ от всех значений $n = 0 \div \infty$ остаётся участок, равный $n = 0 \div 0,1$, что в переводе на известный [46] аргументный коэффициент составляет $A_0 = 0 \div 0,016$. При $m=12 - n = 0 \div 0,02$, ($A_0 = 0 \div 0,0016$). Результаты при $n > n_{кр.y.0}$ не опубликованы в настоящее время. Частично они приводились в [153] и выше.

Если в предыдущем случае положить величину ёмкости конечной (класс $\varepsilon R//C$), то состояние схем расположится на дальней плоскости. При $m=1,2$ на ней расположены состояния $P_{\leq 3}$. Результаты для этого случая получены в [51-56,27]. Для части указанной плоскости, ограниченной слева левой и верхней гранями, а справа - кривой (4.21) (при $\varepsilon=0$), некоторые результаты при $m \geq 3$ получены ктн А.М.Утевским [45]. Они требуют уточнения и развития. Для остальной части этой плоскости (для коммутационных состояний), составляющей при $m \geq 6$ практически 100% состояний, результатов нет.

По нижней дальней грани расположены состояния схем с активными потерями и активной нагрузкой (класс ΣR). Для первого коммутационного режима результаты получены в [15]. Они ограничены значением $n_{k_p,0}$ критического сопротивления, получаемого из (3.68') при $k=1$, при $n > n_{k_p,0}$ теряют смысл. Класс ΣRE_s при $k=1$ исследован в [69]. Для любых коммутационных состояний, любых схем класса ΣRE_s результаты получены в предыдущей главе. Они соответствуют всей нижней плоскости параллелепипеда состояний.

В итоге мы обнаруживаем, что из всего объема реальных состояний m -фазных схем класса $\Sigma E, R//C$ к настоящему времени исследованы лишь относящиеся к точкам, граням, части дальней и всей нижней плоскостей параллелепипеда. Следовательно, известные результаты охватывают лишь незначительную часть всех реальных состояний многофазных схем источников низких и инфразвуковых напряжений. Такие схемы в силу малых L и влияния нижнего участка характеристики вентиля работают при нормальных эксплуатационных условиях в коммутационных режимах, относящихся к неисследованной области состояний.

Задача состоит в том, чтобы устранить этот существующий пробел. Однако, получение необходимых результатов не содержит теперь принципиальных трудностей и может быть осуществлено на основе (4.22) и (4.23) по аналогии с третьей главой. Вместе с тем, это требует профессиональных навыков, большого труда и значительного времени при условии доведения результатов до инженерной методики расчёта. Заметим, однако, о незначительности расхождения результатов, приведенных на рис. 3.17 для предельных значений ёмкости - 0 и ∞ .

3. Класс $\Sigma R//C_\infty$.

Современная теория и практика не предполагает, как и в предыдущем случае, о существовании коммутационных состояний этого класса.

Поэтому найдём условия критичности, покажем важность учёта явления коммутации и приведём ряд других интересных результатов.

Воспользовавшись (1.18) при решении эквивалентного операторного уравнения, отражающего состояние $P \subset \mathcal{Z}$ схем указанного класса, довольно просто получаем выражение для тока общей нагрузки (вентиля и фазы), существующего в интервале проводимости вентиля и являющегося в силу риджитности исходной переменной,

$$i_{H(z)}(v) = i_{\theta(z)}(v) = i_{\varphi(z)}(v) = i_{z}(v) = i_{y(z)}(v)_o + i_{n(z)}(v)_o \quad , \quad (4.25)$$

где при $\mathcal{E} \subset \mathcal{S}$; $HK \subset \Psi$, $\Psi \subset S = 0, S' > 0$:

$$i_{y(z)}(v)_o = \cos \varphi \sin(v + \psi - \varphi_\theta) - \sin \psi; \quad i_{n(z)}(v)_o = \sin \varphi \cos(\psi - \varphi_\theta) e^{-\delta_\theta v}, \quad (4.26)$$

$\delta_\theta = g_\theta^{-1} = \operatorname{ctg} \varphi_\theta = z / \omega l$ — собственный обобщенный декремент внутренней ветви.

Остальные переменные, как и расчётные и другие параметрические характеристики, находятся уже без принципиальных трудностей. Например, среднее значение тока полезной нагрузки равно

$$I_{(v)} = \theta^{-1} [\sin \lambda \sin(\psi + \lambda) - \lambda \sin \psi], \quad (4.27)$$

что совпадает с известными выражениями, приведенными соответственно в [17, 46] (в обозначениях авторов)

$$I_o = -\frac{m E_o}{2\pi z} \left[P \cos(\omega t - \varphi) + \omega t + \frac{M e^{-(\omega t - \frac{\pi}{2} + \psi) \operatorname{ctg} \varphi}}{\operatorname{ctg} \varphi} \right]_{\frac{\pi}{2} - \psi}^{\beta},$$

$$I_o = -\frac{\rho U_o}{2\pi z} \left\{ P [\cos(\beta - \varphi) - \sin(\theta + \varphi)] + \left(\beta - \frac{\pi}{2} + \theta \right) + M \frac{1}{\operatorname{ctg} \varphi} \left(e^{-(\beta - \frac{\pi}{2} + \theta) \operatorname{ctg} \varphi} - 1 \right) \right\},$$

$$P = \frac{\cos \varphi}{\cos \theta}; \quad M = P \sin \left(\varphi - \frac{\pi}{2} + \theta \right) + 1.$$

Имея в виду равенство $I_{(z)} = n \sin \psi$, из (4.27) получаем выражение, связывающее углы ψ и λ через n и m ,

$$n = \theta^{-1} \left[\frac{\sin \lambda}{\sin \psi} \sin(\psi + \lambda) - \lambda \right], \quad (4.28)$$

которое, в частности, при $\omega l = 0$ (т.е. $\psi = \frac{\pi}{2} - \lambda$) непосредственно даёт известную формулу для аргументного коэффициента A [11].

Воздействуя общими условиями критичности (4.13) на (4.28) и (4.14) на (4.25), получаем в явном виде функциональную связь между двумя (вместо пяти реальных величин m, ω, l, z, R) приведенными параметрами, которая отражает нулевую критичность m -фазных схем класса $\ell_2 R || C_\infty$

$$n_{kp,0}^+ = k_c A_{kp} = f(m, g_{kp}) , \quad (4.29)$$

где

$$A_{kp} = \frac{1}{\cos \varphi_p} \frac{\sin \theta + \cos \varphi_p \sin(\theta - \varphi_p) + \sin \varphi_p \cos(\theta + \varphi_p) e^{-2\theta \operatorname{ctg} \varphi_p}}{\sin(\theta + \varphi_p) + \sin \varphi_p e^{-2\theta \operatorname{ctg} \varphi_p}}, \quad (4.30)$$

$k_c = \sin \theta / \theta$ – коэффициент средних значений.

В графической интерпретации формула (4.29) даёт линии критичности (рис. 4.4), которые делят в плоской прямоугольной системе координат g_{kp} (n_{kp}) все возможные состояния на две зоны $-P \subset Z$ и $P \subset X$. В частном случае, когда внутреннее индуктивное сопротивление не учитывается ($\varphi_p = 0$), из (4.29) легко получаем (4.24), которому на графиках рис. 4.4 принадлежат точки на оси n . Следуя указаниям "компаса", просто осуществляется на практике оперативная оценка вида режима схем класса $\ell_2 R || C_\infty$.

Как и ожидалось, при учёте внутренних индуктивностей критичность состояний наступает ещё раньше (т.е. при больших сопротивлениях полезной нагрузки), чем это имеет место в случаях, когда эта индуктивность не учитывается. Причём влияние её довольно значительное. Так, например, для 3-х фазной лучевой схемы при $g_p = 0,4$ (т.е. угол φ_p составляет всего лишь около 22°) значение n_{kp} уменьшается более, чем